

## 基础研究

## 人 Bcl-6 3'UTR 区报告质粒及其表达载体的构建和功能检测

韩白玉<sup>1,2</sup>, 崔瀚之<sup>3</sup>, 燕翔<sup>4</sup>, 黄鹏<sup>5</sup>, 黄华龙<sup>5</sup>, 范忠义<sup>4</sup>, 窦京涛<sup>1</sup>解放军总医院<sup>1</sup>内分泌科,<sup>4</sup>肿瘤科, 北京 100853;<sup>2</sup>北京军区第264医院内分泌科, 山西 太原 030000;<sup>3</sup>解放军309医院肿瘤科, 北京 100091;<sup>5</sup>解放军61213部队, 山西 临汾 041000

**摘要:**目的 通过构建 bcl-6 基因野生型、突变体 3'UTR 区及其编码序列(CDS), 观察 miR-127 对 bcl-6 的直接靶向调控作用及 bcl-6 表达载体回复 miR-127 抑制细胞周期和细胞生长的功能。方法 利用 PCR 方法扩增 bcl-6 基因 3'UTR 区序列及其 CDS, 分别构建在 pcDNA3.0-Luc 和 pcDNA3.0-Flag 载体上, 在 bcl-6 基因 3'UTR 质粒基础上应用重组 PCR 方法构建 miR-127 结合位点突变的突变体报告基因质粒, 应用荧光素酶报告基因系统检测 miR-127 对 bcl-6 的直接靶向调控作用, 在肝癌细胞 HepG2 中检测过表达及敲低 miR-127 引起 bcl-6 基因表达抑制后细胞周期和细胞生长的改变, 同时应用表达载体回复 bcl-6 蛋白水平, 检测 bcl-6 在 miR-127 调控细胞周期和细胞生长中的必要性。结果 构建的重组质粒经酶切鉴定和测序证实构建正确, bcl-6 3'UTR 野生型和突变体报告质粒与 miR-127 共转 293T 细胞和 HepG2 细胞后荧光素酶报告基因检测显示 miR-127 明显降低野生型报告质粒的活性, 但对突变体活性没有影响, miR-127 可引起 HepG2 细胞 G<sub>2</sub>/M 期阻滞并抑制细胞生长, bcl-6 可以逆转 miR-127 对细胞周期和细胞生长的影响。结论 成功构建 bcl-6 基因 3'UTR 区野生型、突变体报告质粒和 bcl-6 基因的表达载体, 荧光素酶报告基因和回复实验证实均具有生物学功能。

**关键词:** bcl-6 基因; 3'UTR 区; 荧光素酶报告基因; 细胞周期

## Construction of human Bcl-6 3'UTR reporter vector and expression vector and their functional assessment

HAN Baiyu<sup>1,2</sup>, CUI Hanzhi<sup>3</sup>, YAN Xiang<sup>4</sup>, HUANG Peng<sup>5</sup>, HUANG Hualong<sup>5</sup>, FAN Zhongyi<sup>4</sup>, DOU Jingtao<sup>1</sup><sup>1</sup>Department of Endocrinology, <sup>4</sup>Department of Medical Oncology, General Hospital of PLA, Beijing 100853, China; <sup>2</sup>Department of Endocrinology, 264 Hospital of Beijing Military Command, Taiyuan 030000, China; <sup>3</sup>Department of Medical Oncology, 309 Hospital of PLA, Beijing 100091, China; <sup>5</sup>No.61213 Troop of PLA, Linfeng 041000, China

**Abstract: Objective** To observe the direct regulation of miR-127 on Bcl-6 and the effect of Bcl-6 in rescuing miR-127-induced cell cycle and cell growth inhibition. **Methods** The 3'UTR and coding region of human bcl-6 gene were amplified by PCR and cloned into pcDNA3.0-Luc and pcDNA3.0-Flag vectors, respectively. Mutations were introduced into the seed sequences of the predicted miR-127 target sites within the Bcl-6 3'UTR using recombinant PCR. Luciferase assay was used to verify the direct targeted regulation of miR-127 on Bcl-6. In HepG2 cell models with overexpression or knockdown of miR-127, the changes of cell cycle and cell growth were investigated after transfection with the constructed vectors. **Results** The recombinant plasmids were successfully obtained as confirmed by double digestion and sequence identification. Luciferase assay showed that in 293T and HepG2 cells, miR-127 inhibited the activation of wild-type Bcl-6 3'UTR reporter vector but not mutated Bcl-6 3'UTR vector. Overexpression of miR-127 induced cell cycle arrest at G<sub>2</sub>/M phase and suppressed the growth of HepG2 cells, and these effects were reversed by Bcl-6 overexpression. **Conclusion** We successfully cloned wild-type and mutated 3'UTR reporter vectors and expression vector of bcl-6 gene and confirmed their biological functions.

**Key words:** bcl-6 gene; 3'UTR; luciferase reporter gene; cell cycle

Bcl-6 蛋白和 bcl-2 蛋白同属于 B 淋巴细胞瘤蛋白家族, 研究证明该家族基因主要参与细胞的凋亡过程, 其中包括促进细胞凋亡的一组基因和抑制细胞凋亡的一组基因, bcl-6 与 bcl-2 基因功能相似, 在细胞的生理过

程中发挥抑制凋亡的作用<sup>[2]</sup>; 不仅如此, bcl-6 是一种转录抑制因子<sup>[3]</sup>, 其通过调控多种靶基因表达参与调控细胞的活化<sup>[4]</sup>、分化<sup>[5]</sup>和增殖<sup>[6]</sup>等过程; 同时还参与细胞周期调控<sup>[7]</sup>及 DNA 损伤修复<sup>[8]</sup>。

近期研究发现, bcl-6 基因除了与多种淋巴瘤密切相关外还与多种实体肿瘤的发生、发展密切相关, 如乳腺癌<sup>[9-10]</sup>、多形性胶质母细胞瘤<sup>[11]</sup>、结肠癌<sup>[12]</sup>和胆囊癌<sup>[13]</sup>等。由于 bcl-6 在肿瘤发生发展中的作用被认识, 其调控机制也成为研究中的热点。研究发现 bcl-6 表达不但受到转录因子<sup>[14]</sup>和细胞因子的调控<sup>[15]</sup>, 同时也受到

收稿日期: 2015-01-15

基金项目: 中国人民解放军第三〇九医院课题(2015MS-010)

作者简介: 韩白玉, 在读博士研究生, E-mail: bzy229@sina.cn; 崔瀚之, 硕士研究生, E-mail: 224tracy@sohu.com。崔瀚之、韩白玉共同为第一作者

通信作者: 窦京涛, 主任医师, 博士生导师, E-mail: jingtaodou@163.com;

范忠义, 主治医师, 博士, E-mail: fzyi11@163.com

miRNA的转录后调控,例如:miRNA-127<sup>[6]</sup>。但是现在发现的靶向bcl-6的miRNA还比较少,其调控网络有待于进一步研究充实。在miRNA研究中目的基因的3'UTR区报告质粒和表达载体必不可少。本实验中,我们通过基因克隆技术构建bcl-6基因的野生型3'UTR区报告质粒和bcl-6基因的表达式载体,为下一步筛选新的直接靶向bcl-6的miRNA奠定实验基础。

## 1 材料和方法

### 1.1 材料

人胚肾293T细胞、人肝细胞癌HepG2细胞、pcDNA3.0-miR-127质粒、空载体pcDNA3.0-FLAG和pcDNA3.0-Luc由解放军总医院肿瘤内科保存,大肠杆菌感受态DH5 $\alpha$ 购自康为世纪生物科技有限公司。Prime STAR HS DNA Polymerase、限制性核酸内切酶(*Eco*R I、*Xba* I、*Kpn* I、*Xho* I)、T<sub>4</sub>连接酶购自TaKaRa公司;真核细胞质粒小量提取试剂盒、荧光素酶报告基因底物为Promega公司产品;PCR产物琼脂糖凝胶回收试剂盒采购自北京天根生物科技有限公司;转染试剂Vigofect购自威格拉斯生物技术有限公司;兔抗人bcl-6单克隆抗体、兔抗人Cyclin D1单克隆抗体购自Abcam公司;兔抗人GAPDH单克隆抗体、辣根过氧化物酶偶联的山羊抗兔IgG购自Santa Cruz公司;辣根过氧化物酶偶联的抗FLAG抗体购自Sigma公司;miR-127 inhibitor为Qiagen公司产品。测序由北京博迈德技术有限公司完成。引物合成来自北京赛百盛生物技术有限公司。其余化学试剂为国产分析纯产品。

### 1.2 方法

1.2.1 bcl-6 3'UTR区及其表达式载体重组质粒的构建 查询TARGET (www.targetscan.org) 和 PUBMED (www.pubmed.com) 分别获得bcl-6 3'UTR区序列和bcl-6基因CDS区序列,设计并合成引物如下:bcl-6 3'UTR区:(上游)5'-CGGAATTCAGCATGGAGTGTGATGCTTTCGCTCTCCA-3';(下游)5'-GCTCTAGACCAGTTTGACTTTTCAACATTTTATTCTTATA-3'。bcl-6表达式载体:(上游)5'-GGGGTACCATGGCCTCGCCGGCTGACAGCTGTATC-3';(下游)5'-CCGCTCGAGTCAGCAGGCTTTGGGGAGCTCCGGAG-3',突变体bcl-6 3'UTR区:(上游):5'-GACTCGAAGTGTCTGCCTGCAGATACAAATCGAGCCT-3';(下游):5'-AGGCTCGATTTGTATCTGCAGGCAGACACTTCGAGTC-3',下划线为酶切位点,加粗斜体为bcl-6 3'UTR突变位点(miR-127结合位点)。分别以乳腺基因组和乳腺文库为模板,应用PCR扩增上述两种目的片段,具体条件为:95℃ 5 min 预解螺旋,95℃ 30 s,60℃ 30 s,72℃ 3 min,共32个循环,72℃ 7 min 延伸完毕。所得产物

行琼脂糖凝胶电泳,切下带有目的片段的琼脂糖,应用胶回收试剂盒回收PCR产物后进行双酶切,同时酶切载体,将酶切好的目的片段与载体16℃链接6 h,转化感受态DH5 $\alpha$ ,37℃培养14 h形成菌落,挑取一定数量菌落行菌液PCR鉴定,阳性者提取质粒酶切鉴定,酶切后阳性克隆测序鉴定。

1.2.2 哺乳动物细胞的转染 细胞培养应用含有10%胎牛血清的DMEM培养基。报告基因活性检测试验:将细胞以 $1 \times 10^6$ /mL浓度接种于24孔板中,转染前1 h换新鲜培养基,将0.5  $\mu$ L脂质体Vigofect与25  $\mu$ L生理盐水混合,同时将质粒按照pcDNA3.0-Luc或Wild-type bcl-6-3'UTR或Mutated bcl-6-3'UTR报告基因质粒0.25  $\mu$ g,miR-127 1  $\mu$ g,pRL-TK 0.1  $\mu$ g的比例混合于25  $\mu$ L生理盐水中,室温放置5 min后将两者混合后室温放置15 min,加入24孔板中,每组设3个副孔。37℃、5% CO<sub>2</sub>条件下培养24 h后收细胞进行荧光素酶活性检测。细胞周期试验:采用2次转染方法进行回复实验,具体转染分组如下:

第1组:miR-control+pcDNA3.0-FLAG;

第2组:miR-127+pcDNA3.0-FLAG;

第3组:miR-127+pcDNA3.0-FLAG-bcl-6。

将HepG2细胞以 $5 \times 10^6$ /mL密度接种于6 cm皿中,24 h后进行转染,转染前1 h换新鲜培养基,将miR-127 5  $\mu$ g混合于200  $\mu$ L生理盐水中,同时将4  $\mu$ L脂质体Vigofect混合于200  $\mu$ L生理盐水中,室温放置5 min后将两者混合后室温再放置15 min,加入6 cm皿。培养24 h后进行回复实验转染,转染方法同前,转染5  $\mu$ g pcDNA3.0-FLAG-bcl-6于miR-127过表达细胞,继续培养24 h后收细胞一半进行流式细胞周期检测,一般行Western blot检测相关蛋白表达。MiR-127敲低实验转染方法参考过表达转染方法。

1.2.3 流式细胞周期检测 收集细胞,1500 r/min离心10 min,吸弃上清,用含有3%胎牛血清的PBS洗1次,用含上述PBS 30%,乙醇70%混合液-20℃固定过夜。取-20℃固定的细胞3000 r/min离心1 min,弃上清,再用含有3%胎牛血清的PBS洗细胞两次,弃上清,加入含有RNaseA浓度为1 mg/mL的PBS 0.2 mL,37℃水浴30 min,再加入0.3 mL PI置暗处染色,20 min后上机检测。

1.2.4 Western blot检测 转染后48 h收细胞,加入适量RIPA裂解液冰浴裂解细胞30 min,混合等量的SDS缓冲液,煮沸15 min后进行SDS-PAGE检测。将蛋白半干电转于纤维素膜上,用5%脱脂奶粉室温封闭1 h;加入兔抗人bcl-6抗体(1:500)、兔抗人Cyclin D1抗体(1:250)和兔抗人GAPDH抗体(1:1000),室温平衡摇床轻摇1 h;TBST洗膜3次,加入辣根过氧化物酶偶联的山羊抗兔IgG(1:2000),室温轻摇1 h;TBST洗膜3次,化

学发光法显色后压片显影。

**1.2.5 荧光素酶报告基因活性检测** 转染后48 h弃24孔板中的培养基,PBS洗1次,加入100  $\mu$ L报告基因裂解液(RLB),室温轻摇1 h,收取细胞裂解产物与EP管中,震荡10 min,4  $^{\circ}$ C 12 000 r/min离心10 min。取20  $\mu$ L裂解液上清与等量的荧光素酶报告基因底物混合,应用荧光测定仪检测荧光素酶活性。

**1.2.6 CCK-8法细胞生长检测** 将2次转染后的HepG2细胞以 $2 \times 10^4$ /mL细胞数接种于96孔板中,每个孔加入100  $\mu$ L细胞悬液并设置3个复孔,常规培养。分别于贴壁后、24、48、72、96 h,取一块96孔板,在接种孔中加入10  $\mu$ L CCK-8试剂;37  $^{\circ}$ C、5%  $\text{CO}_2$ 常规培养1 h,测定 $A_{450}$ 值;以测量时间点为横坐标, $A$ 值为纵坐标绘制生长

曲线。

## 2 结果

### 2.1 bcl-6 3'UTR 区报告质粒及其表达载体重组质粒的构建

应用基因克隆技术以乳腺基因组为模板,PCR扩增bcl-6 3'UTR区和CDS编码区序列,琼脂糖电泳分别观察到大小在1100 bp和2100 bp左右的目的片段(图1A),两目的片段回收后分别用EcoR I和Xba I、Kpn I和Xho I双酶切后插入各自载体,转化后挑取菌落行菌液PCR,阳性克隆提质粒酶切鉴定,结果显示均可切出大小相符的目的片段(图1B),测序后显示插入片段为目的片段且构象正确(结果略)。

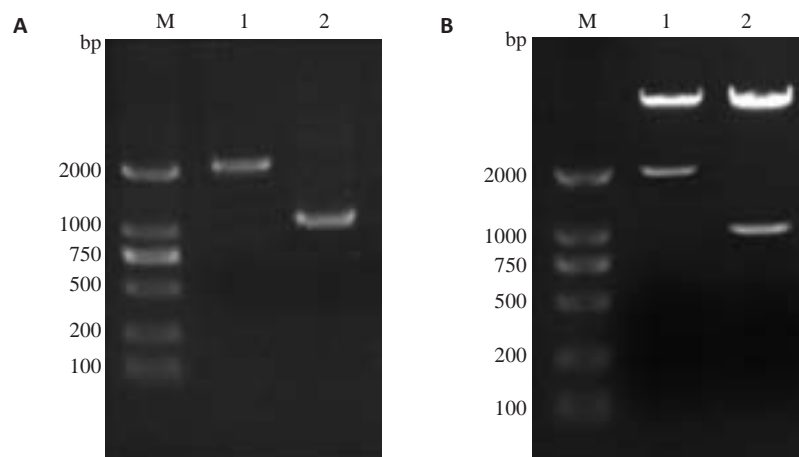


图1 Bcl-6 3'UTR 区报告质粒及其表达载体重组质粒的构建

Fig.1 Construction of bcl-6 3'UTR region reporter plasmid and expression vector. M: DNA marker (BM 2000); 1: bcl-6 CDS region; 2: Wild-type bcl-6 3'UTR region. A: PCR products; B: Enzyme digestion.

### 2.2 突变体 bcl-6 3'UTR 区报告质粒的构建

应用重组 PCR 技术,以构建好的野生型 bcl-6 3'UTR 质粒为模板,以野生型上游引物和突变体下游引物、野生型下游引物和突变体上游引物 PCR 分别扩增含有突变位点的上下游片段,纯化后以这两个片段为模板用野生型引物 PCR 扩增含有突变位点的突变体 bcl-6 3'UTR 区,琼脂糖电泳回收可观察到大小在1100 bp左右的目的片段(图2A),目的片段回收后用EcoR I和Xba I双酶切后插入各自载体,转化后挑取菌落行菌液PCR,阳性克隆提质粒酶切鉴定(图2B),测序显示突变成功(结果略)。

### 2.3 重组质粒报告基因活性和表达的鉴定

分别将 pcDNA3.0-Luc、野生型 bcl-6 3'UTR 和突变体 bcl-6 3'UTR 质粒转染入 HEK293T 细胞,37  $^{\circ}$ C 5%  $\text{CO}_2$  全湿度培养48 h。收取细胞,行荧光素酶报告基因活性检测,结果显示三者的相对荧光素酶活性值分

别为  $1.11 \pm 0.108$ 、 $1.20 \pm 0.165$ 、 $1.15 \pm 0.095$ ,具有相似的荧光素酶活性。将 pcDNA3.0-FLAG 和 pcDNA3.0-FLAG-bcl-6 转染入 HEK293T 细胞,37  $^{\circ}$ C 5%  $\text{CO}_2$  全湿度培养24 h,收细胞行 Western blot 检测,结果显示:应用 FLAG 抗体在 80 000 左右的位置可以看到明显条带,符合 bcl-6 的大小(图3A)。说明质粒表达正常。

### 2.4 miR-127 对 bcl-6 3'UTR 区报告基因活性的影响

将 miR-127 表达载体分别和野生型 (WT) bcl-6 3'UTR 区或突变体 (Mut) bcl-6 3'UTR 区报告基因质粒共转人胚肾 HEK293T 细胞及肝细胞癌 HepG2 细胞,48 h 后收细胞进行荧光素酶活性测定,结果显示:在两种细胞中 miR-127 均可以明显降低 bcl-6 3'UTR 区报告基因的活性水平超过 50%,对空载体 pcDNA3.0-Luc 及突变体 bcl-6 3'UTR 区报告基因的活性并没有明显的降低(图4)。说明 bcl-6 是 miR-127 的直接靶基因,这与文献报道相一致。



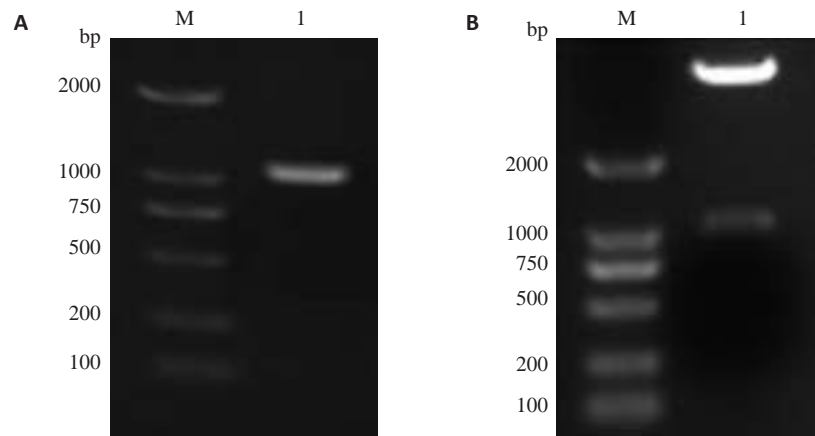


图2 突变体bcl-6 3'UTR区报告质粒的构建

Fig.2 Construction of mutated bcl-6 3'UTR region reporter plasmid. M: DNA marker (BM 2000); 1: Mutated bcl-6 3'UTR region. A: PCR product; B: Enzyme digestion.

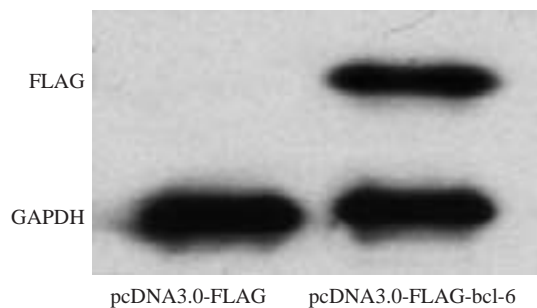


图3 重组质粒表达的鉴定

Fig.3 Expression of bcl-6 protein in HEK293T cells transfected with the recombinant plasmids detected by Western blotting.

## 2.5 bcl-6表达载体拮抗miR-127对细胞周期的影响

用两次转染的方法分别将miR-127和bcl-6转染入HepG2细胞相应分组,bcl-6转染后24 h收细胞,一部分固定进行流式细胞周期检测,另一部分进行Western blot检测相关蛋白表达水平,结果显示:相比对照组转染miR-127后可以引起细胞的G<sub>0</sub>/G<sub>1</sub>期阻滞,同时转染miR-127和bcl-6后miR-127引起G<sub>0</sub>/G<sub>1</sub>期阻滞消失(图5A)。同时Western blot检测发现miR-127可以明显抑制bcl-6表达及Cyclin D1的表达,回复bcl-6蛋白表达后,Cyclin D1的蛋白水平也得到了恢复(图5C)。相反我们发现敲低miR-127可以抑制G<sub>0</sub>/G<sub>1</sub>其阻滞且升高bcl-6表达及Cyclin D1的表达(图5B,5D)。说明:miR-127可以降低bcl-6的表达进而抑制Cyclin D1的蛋白水平,从而表现出细胞周期G<sub>0</sub>/G<sub>1</sub>期阻滞;bcl-6表达载体可以回复miR-127引起的bcl-6蛋白水平的降低,具有生物学活性。

## 2.6 bcl-6表达载体拮抗miR-127对细胞生长的影响

采用二次转染的方式将HepG2分成3组:Empty vector+pcDNA3.0-FLAG、miR-127+pcDNA3.0-FLAG、miR-127+bcl-6。将细胞分别接种于96孔板中,每组设

置3个副孔,分别在贴壁后、24、48、72、96 h取一块96孔板,在每个孔中加入10 μL CCK-8溶液,37 °C 5% CO<sub>2</sub>全湿度培养1 h后测定A<sub>450</sub>值并绘制生长曲线。结果显示:miR-127可以明显抑制HepG2细胞生长,回复bcl-6表达水平后细胞的生长速度也得到回复。miR-127过表达组与其他两组之间具有统计学意义( $P < 0.05$ ,图6A)。抑制miR-127表达则促进细胞的生长(图6B)。这一结果提示:bcl-6可以拮抗miR-127引起的抑制细胞生长的作用。

## 3 讨论

bcl-6是Baron等<sup>[16]</sup>研究B细胞非霍奇金淋巴瘤基因组重组的时候发现和命名的。bcl-6主要表达于生发中心的B细胞和CD4<sup>+</sup>的T细胞,与生发中心的形成及维持密切相关,研究发现,bcl-6可以抑制T细胞向Th2细胞分化<sup>[17]</sup>,通过与转录因子STAT3相互作用抑制B细胞分化必须膜分子的表达,进而达到抑制B细胞分化的目的<sup>[18]</sup>,同时bcl-6还通过抑制P53基因的促凋亡作用进一步达到维持生发中心的作用<sup>[19]</sup>。由于bcl-6原癌基因的特性,其表达受到严格的调控,当出现染色体异位及点突变都会引起bcl-6启动子的异常激活<sup>[20]</sup>,从而使bcl-6表达异常增加,引起机体产生癌变。不仅仅在淋巴瘤中检测出bcl-6的异常表达,其还参与多种实体性肿瘤中的发生发展。因此bcl-6成为了药物研究的新靶点,bcl-6表达的调控机制和调控分子被渐渐发现。

miRNA已经成为生物体不可或缺的调控手段,与多种疾病的发生有重要的关系。Saito等<sup>[21]</sup>首先发现两种染色质修饰药物可以引起癌细胞miR-127表达的升高进而引起bcl-6的降低,后期的研究也进一步证实,bcl-6为miR-127的直接靶基因<sup>[6, 22]</sup>。Wu等<sup>[23]</sup>发现miR-339-5p以bcl-6为靶基因,进而抑制乳腺癌细胞的生长和转移。这仅仅是以bcl-6为靶基因的miRNA研

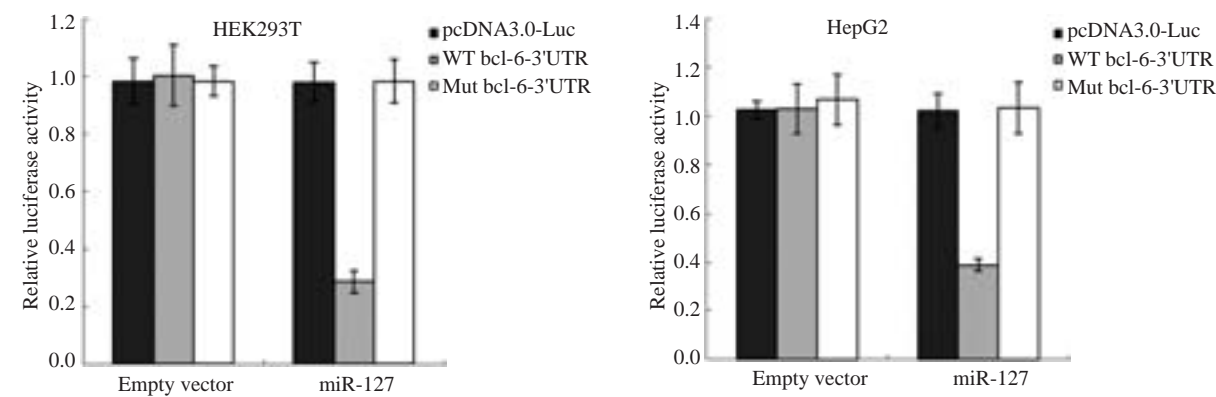


图4 miR-127对bcl-6 3'UTR区报告基因活性的影响  
Fig.4 Effect of miR-127 on bcl-6 3'UTR region reporter plasmid.

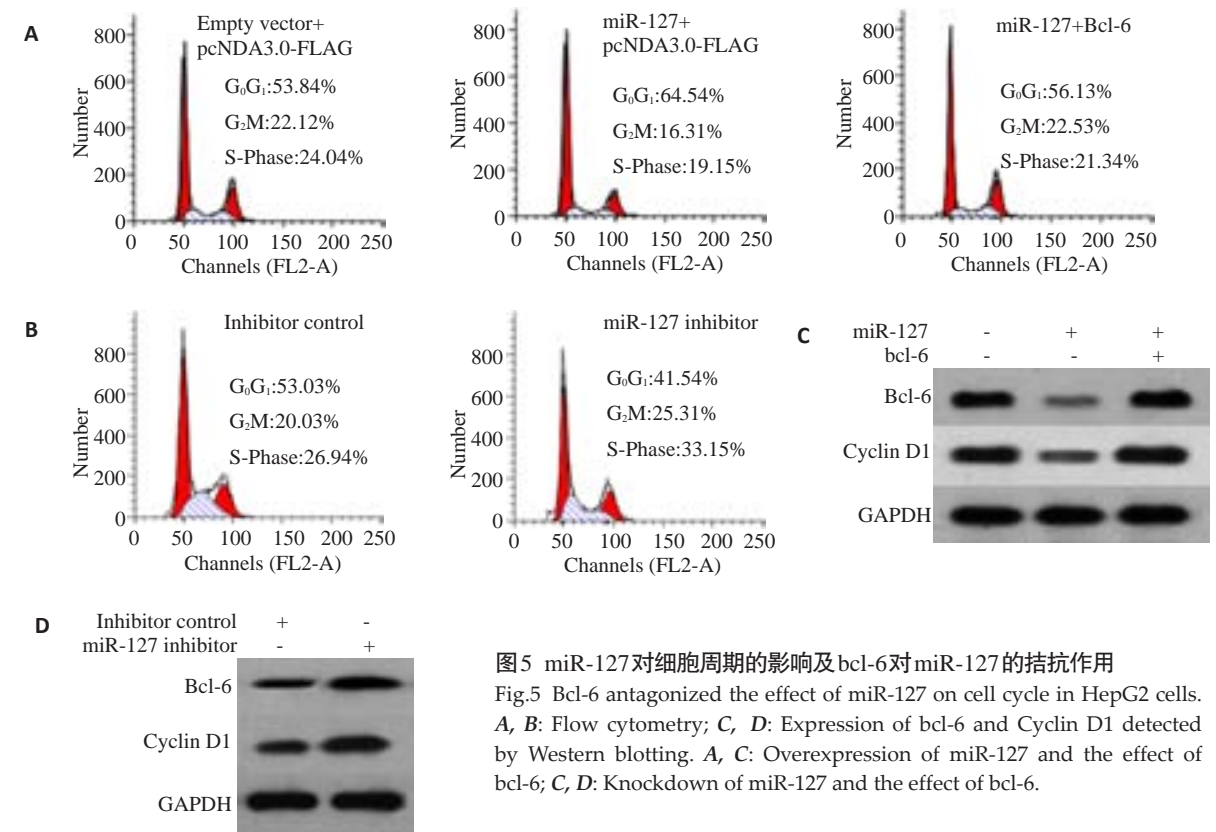


图5 miR-127对细胞周期的影响及bcl-6对miR-127的拮抗作用  
Fig.5 Bcl-6 antagonized the effect of miR-127 on cell cycle in HepG2 cells. A, B: Flow cytometry; C, D: Expression of bcl-6 and Cyclin D1 detected by Western blotting. A, C: Overexpression of miR-127 and the effect of bcl-6; C, D: Knockdown of miR-127 and the effect of bcl-6.

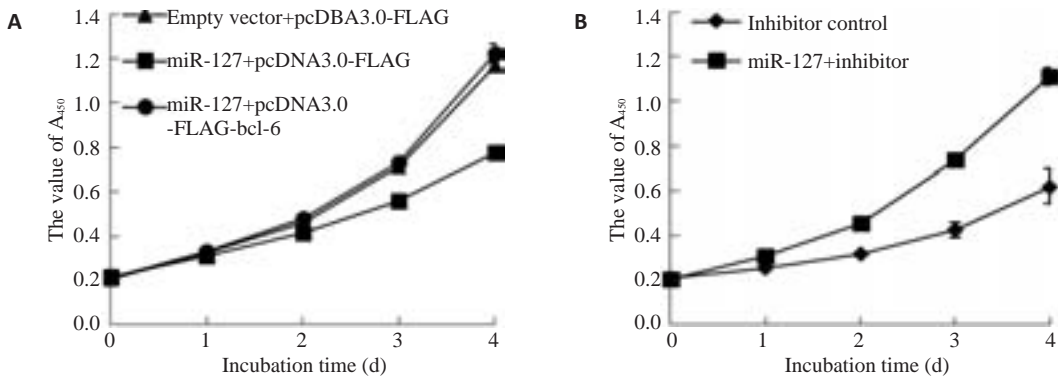


图6 miR-127对细胞生长的影响  
Fig.6 Growth curves of HepG2 cells with miR-127 overexpression (A) and knockdown (B) and transfected with bcl-6 vectors.

究的开始。

在miRNA研究中,目的基因3'UTR区报告质粒的构建及荧光素酶活性检测是判定miRNA作用靶基因的直接证据,我们在实验中成功构建了bcl-6基因的3'UTR区报告质粒,与miR-127共转发现活性明显受到抑制,这与前期研究报道相一致,为后期进一步筛选以bcl-6为直接靶点的miRNA奠定了实验基础。回复实验的目的是为了在敲低实验中防止出现脱靶效应,在抑制基因表达实验中被用来证实该siRNA的特异性。由于miRNA与siRNA同样是以降低基因表达而发挥其功能,所以回复实验是不可或缺的。我们构建了bcl-6 CDS序列表达载体,研究发现其可以逆转miR-127引起的细胞周期的改变及细胞生长的改变,这说明bcl-6质粒具有生物学活性。为后期检测筛选的miRNA功能试验奠定良好的实验基础

#### 参考文献:

- [1] 耿万友, 侯睿, 孙树民, 等. 原癌基因bcl-6研究进展[J]. 动物医学进展, 2013, 4(3): 110-3.
- [2] Baron BW, Hyjek E, Gladstone B, et al. PDCD2, a protein whose expression is repressed by BCL6, induces apoptosis in human cells by activation of the caspase cascade[J]. Blood Cells Mol Dis, 2010, 45(2): 169-75.
- [3] Crotty S, Johnston RJ, Schoenberger SP. Effectors and memories: bcl-6 and Blimp-1 in T and B lymphocyte differentiation[J]. Nat Immunol, 2010, 11(2): 114-20.
- [4] Sawant DV, Wu H, Yao W, et al. The transcriptional repressor Bcl6 controls the stability of regulatory T cells by intrinsic and extrinsic pathways[J]. Immunology, 2015, 145(1): 11-23.
- [5] Mathew R, Mao AP, Chiang AH, et al. A negative feedback loop mediated by the Bcl6-cullin 3 complex limits Tfh cell differentiation[J]. J Exp Med, 2014, 211(6): 1137-51.
- [6] Chen J, Wang M, Guo M, et al. miR-127 regulates cell proliferation and senescence by targeting BCL6[J]. PLoS One, 2013, 8(11): e80266.
- [7] Phan RT, Saito M, Basso K, et al. BCL6 interacts with the transcription factor Miz-1 to suppress the cyclin-dependent kinase inhibitor p21 and cell cycle arrest in germinal center B cells[J]. Nat Immunol, 2005, 6(10): 1054-60.
- [8] Ranuncolo SM, Polo JM, Melnick A. BCL6 represses CHEK1 and suppresses DNA damage pathways in normal and malignant B-cells[J]. Blood Cells Mol Dis, 2008, 41(1): 95-9.
- [9] Wu Q, Liu X, Yan H, et al. B-cell lymphoma 6 protein stimulates oncogenicity of human breast cancer cells[J]. BMC Cancer, 2014, 14: 418.
- [10] Walker SR, Liu S, Xiang M, et al. The transcriptional modulator BCL6 as a molecular target for breast cancer therapy[J]. Oncogene, 2015, 34(9): 1073-82.
- [11] Ruggieri S, Tamma R, Marzullo A, et al. Translocation of the proto-oncogene bcl-6 in human glioblastoma multiforme[J]. Cancer Lett, 2014, 353(1): 41-51.
- [12] Sena P, Mariani F, Benincasa M, et al. Morphological and quantitative analysis of BCL6 expression in human colorectal carcinogenesis[J]. Oncol Rep, 2014, 31(1): 103-10.
- [13] Liang PI, Li CF, Chen LT, et al. BCL6 overexpression is associated with decreased p19 ARF expression and confers an Independent prognosticator in gallbladder carcinoma[J]. Tumour Biol, 2014, 35(2): 1417-26.
- [14] Tunyaplin C, Shaffer AL, Angelin-Duclos CD, et al. Direct repression of prdm1 by bcl-6 inhibits plasmacytic differentiation[J]. J Immunol, 2004, 173(2): 1158-65.
- [15] Feng C, Jin J, Zou Q, et al. Interleukin-21 inhibits humoral response to an HIV DNA vaccine by enhancing bcl-6 and Pax-5 expression[J]. Viral Immunol, 2012, 25(2): 131-40.
- [16] Baron BW, Nucifora G, McCabe N, et al. Identification of the gene associated with the recurring chromosomal translocations t(3; 14)(q27; q32) and t(3; 22)(q27; q11) in B-cell lymphomas[J]. Proc Natl Acad Sci USA, 1993, 90(11): 5262-6.
- [17] Kusam S, Toney LM, Sato H, et al. Inhibition of Th2 differentiation and GATA-3 expression by BCL-6[J]. J Immunol, 2003, 170(5): 2435-41.
- [18] Diehl SA, Schmidlin H, Nagasawa M, et al. IL-6 triggers IL-21 production by human CD4<sup>+</sup> T cells to drive STAT3-dependent plasma cell differentiation in B cells[J]. Immunol Cell Biol, 2012, 90(8): 802-11.
- [19] Ranuncolo SM, Wang L, Polo JM, et al. BCL6-mediated attenuation of DNA damage sensing triggers growth arrest and senescence through a p53-dependent pathway in a cell context-dependent manner[J]. J Biol Chem, 2008, 283(33): 22565-72.
- [20] Artiga MJ, Sáez AI, Romero C, et al. A short mutational hot spot in the first intron of BCL-6 is associated with increased BCL-6 expression and with longer overall survival in large B-cell lymphomas[J]. Am J Pathol, 2002, 160(4): 1371-80.
- [21] Saito Y, Liang G, Egger G, et al. Specific activation of microRNA-127 with downregulation of the proto-oncogene BCL6 by chromatin-modifying drugs in human cancer cells[J]. Cancer Cell, 2006, 9(6): 435-43.
- [22] Zhao X, Duan Z, Liu X, et al. MicroRNA-127 is downregulated by Tudor-SN protein and contributes to metastasis and proliferation in breast cancer cell line MDA-MB-231[J]. Anat Rec (Hoboken), 2013, 296(12): 1842-9.
- [23] Wu ZS, Wu Q, Wang CQ, et al. MiR-339-5p inhibits breast cancer cell migration and invasion *in vitro* and May be a potential biomarker for breast cancer prognosis[J]. BMC Cancer, 2010, 10: 542.

(编辑:吴锦雅)